

Vysoká škola: strojní a textilní

Katedra: textilních a oděvních strojů

Fakulta: strojní

Školní rok: 1980/81

DIPLOMOVÝ ÚKOL

pro Jana Míru

obor 23-34-8 Výrobní stroje a zařízení

Protože jste splnil požadavky učebního plánu, zadává Vám vedoucí katedry ve smyslu směrnic ministerstva školství a kultury o státních závěrečných zkouškách tento diplomový úkol:

Název tématu:

Samobužné kmity tkacích strojů uložených na vzduchových pružinách

Pokyny pro vypracování:

U netlumených soustav strojů pružně uložených na pneumatických pružinách s automatickými regulátory stálé statické výšky vznikají za určitých podmínek nebezpečné samobužné kmity. Tyto kmity lze realizovat příkladně u tkacích strojů P 105 a UTAS, které jsou instalovány na pneumatických pružinách v textilních dílnách VŠST Liberec.

- 1) Při rezboru problematiky se zaměřte na soustavu s jedním stupněm volnosti (lze realizovat u tkacího stroje UTAS)
- 2) Navrhnete vhodný matematický model soustavy, stanovte experimentálně potřebné konstanty a závislosti
- 3) K řešení využijte výpočetní techniky

151/49813

Autorské právo se řídí směrnicemi
MSK pro státní záv. zkoušky č.j. 31
727/62-H/2 ze dne 13. července
1982 Věstník MSK XVIII, sečt 24 ze
dne 21. 6. 1982 a č.j. 8. 112/82 Sb.

VYSOKÁ ŠKOLA STROJNÍ A TEXTILNÍ
Ústřední knihovna
LIBEREC 1, STUDENTSKÁ 5
PSČ 461 17

JČT 8 614312 75

Rozsah grafických laboratorních prací:

Grafické závislosti vypočtených veličin

Rozsah průvodní zprávy:

30 stran strojopisu form. A4

Seznam odborné literatury:

Kol.: Avtomebilnaja promyšlennost č. 4.1.1966, a č. 5.1961

Hanuš a kol.: Základy technické kybernetiky 1 a 2. VŠST Liberec 1980

Vedoucí diplomové práce:

Doc. Ing. Oldřich Krejčíř, CSc

Konsultanti:

Ing. Josef Mevald

Datum zahájení diplomové práce:

6. října 1980

Datum odevzdání diplomové práce:

22. května 1981

Charvát

Doc. Ing. Jaroslav Charvát, CSc

Vedoucí katedry

Stržík

Doc. RNDr. Bohuslav Stržík, CSc

Děkan



Místopředsedně prohlašuji, že jsem diplomovou práci
vypracoval samostatně a použitím uvedené literatury.

v Liberci 22. května 1981

Jan Míška

VYSOKÁ ŠKOLA STROJNÍ A TEXTILNÍ V LIBERCI
nositelka řádu práce

Fakulta strojní

Obor 23-34-8

**výrobní stroje a zařízení
zuměření**

textilní stroje

Katedra textilních a oděvních strojů

**SANDEUZENÉ KNITY TKACÍCH STROJŮ
ULOŽENÝCH NA VZDUCHOVÝCH PRUŽINÁCH**

Jan Minar

Vedoucí diplomové práce:

Doc. Ing. Oldřich Krejčíř, CSc., KST VŠST Liberec

Konsultant: Ing. Josef Nevald, KMP VŠST Liberec

Rozsah práce a příloh:

Počet stran.....	34
Počet tabulek.....	0
Počet obrázků.....	14
Počet příloh.....	1
Počet výkresů.....	0

V Liberci 22. května 1981

KTC/TS

OBSAH

	Strana
Sesnam použitých symbolů a označení	4
1. Úvod	6
2. Použití vzduchových pružin pro pružné uložení strojů	7
3. Vynucené kmitání soustavy s jedním stupněm volnosti	8
3.1 Soustava bez regulace stálé statické výšky	8
3.2 Soustava s automatickou regulací stálé statické výšky	12
4. Stabilita soustavy s jedním stupněm volnosti a automatickou regulací stálé statické výšky	17
4.1 Samobusené kmity /autooscilace/ soustavy	18
4.2 Faktory ovlivňující vznik samobusených kmítů	20
5. Matematický model tkacího stroje uloženého na vzduchových pružinách /soustava se dvěma stupni volnosti/	22
5.1 Charakteristika vzduchových pružin	24
5.2 Charakteristika automatického regulačního stálé statické výšky	24
5.3 Kmitání člunkového tkacího stroje UTAS II 165 uloženého na vzduchových pružinách	28
5.4 Kmitání pneumatického tkacího stroje P 105 ZM uloženého na vzduchových pružinách	30
6. Použité metody řešení pohybových rovnic	31
7. Závěr	32
Sesnam literatury	34
Přílohy	

SEZNAM POUŽITÝCH SYMBOLŮ A OZNAČENÍ

F	- síla
p	- absolutní tlak
p _p	- přetlak
S _e	- efektivní plocha vzduchové pružiny
V	- objem vzduchové pružiny
V _d	- doplnkový objem
z	- zdvih
ž	- rychlosť
ž	- zrychlení
k	- tuhost
U	- ukazatel efektivní plochy
n	- polytropický exponent
p _a	- atmosférický tlak
H ₀	- statická výška vzduchové pružiny
H	- okamžitá výška vzduchové pružiny
m	- hmotnost
f(t)	- budící síla
t	- čas
Ω	- vlastní kruhová frekvence
M	- hmotnost vzduchu
r	- měrná plynová konstanta
T	- absolutní teplota
μ	- průtokový součinitel
Q	- objemový průtok
ρ	- měrná hmotnost
Δp	- tlakový spád
p _k ,	- tlak kompresoru
P,P'	- průlez přívodu vzduchu
C,C'	- konstanty
J	- moment setrvačnosti

- y_i - souřadnice umístění vzduchové pružiny
 ω - úhlová frekvence
 r_i - nastavení regulátoru
 F_o - amplituda síly
 M_o - amplituda momentu
 ϑ - úhel natočení stroje
 $\dot{\vartheta}$ - úhlová rychlosť
 $\ddot{\vartheta}$ - úhlové zrychlení

1. ÓVOD

Vysoká škola strojní a textilní v Liberci, katedra částí strojů, provádí již několik let systematický výskum a vývoj vzduchových pružin. Vzduchové pružiny se pokusně využívají k pružnému ukládání strojů. V textilních dílnách VŠST Liberec je několik pružně uložených strojů. U některých strojů /tkací stroje UTAS II a P 105/ dochází k nebezpečným samobuzeným kmitám. Tyto kmity vznikají u metlumených soustav uložených na vzduchových pružinách s automatickými regulátory stálé statické výšky.

Teorie výpočtu, konstrukce a použití vzduchových pružin uvádí např. [1], [2]. Teorie vzduchových pružin vychází z experimentálně zjištěných závislostí, které se pro další použití approximují vhodnými funkcemi.

Práce je zaměřena na stanovení podmínek, za kterých dochází k samobuzeným kmitám. Největší pozornost je věnována odvození pohybové rovnice soustavy s jedním stupněm volnosti s automatickou regulací stálé statické výšky. K řešení vytvořených pohybových rovnic bylo použito výpočetní techniky. Seznam programů umožňuje přibližně analyzovat dynamiku soustavy s jedním stupněm volnosti a řeší případ kmitání tkacích strojů UTAS 165 a P 105 jako soustavy se dvěma stupni volnosti.

Řešení problematiky je velice přibližné, ale udává orientační faktory ovlivňující vznik samobuzených kmitů.

V současné době je vyvinuta řada typů vzduchových pružin. Pro pružné ukládání strojů jsou vhodné takové typy vzduchových pružin, které nevyžadují vedení stroje ve vertikálním směru. Používá se pružin vlnovcových jednovlnných, které mají vysokou příčnou tuhost. Vzduchové pružiny se vyrábějí v různé velikosti pro různá jmenovitá zatížení a maximální zdvih.

Vzduchové pružiny mají proti ocelovým a pryžovým řadu výhod. U vzduchové pružiny lze snadno měnit možnost a tuhost v určitém intervalu, který je dán rozsahem vnitřního přetlaku vzduchové pružiny. Při stálém zatížení je možné měnit statickou výšku. Další výhodou je možnost změny tuhosti, a tím i vlastní frekvence soustavy. Dáležitá je vysoká životnost vzduchových pružin.

Při použití vzduchových pružin pro pružné ukládání tkacích strojů musíme hodnotit vibroisolaci ze dvou hledisek. Prvním je snížení sil přenášených do sákladu, snížení hlučnosti stroje. Naproti tomu velké amplitudy kmitání tkaného stroje nepříznivě namáhají osnovu přiváděnou k prošlupnímu zařízení. Při optimálním nastavení celé soustavy je možné splnit oba požadavky co nejlépe. Zavedením pružného uložení do textilního provozu by bylo možné vyřešit celou řadu problémů, např. hlučnost, možnost stavět vícepodlažní tkalcovny aj.

3.

VYNUCENÉ KMITÁNÍ SOUSTAVY S JEDNÍM STUPNĚM VOLNOSTI

Vzduchová pružina má obecně nelineární charakteristiku. Platí pro ni některé specifické zákonitosti, které jsou podrobně uvedeny v [1], [2]. V následující statí je stručný přehled odvození charakteristik, které platí pro vzduchovou pružinu bez regulace stálé statické výšky. Tyto závislosti jsou důležité pro další odvození charakteristik regulované soustavy. Pro obě soustavy, regulovanou i neregulovanou, je sestavena pohybová rovnice. Průběh budící síly respektuje provoz tkacího stroje, který je charakterizován častými rozběhy. Řešení je provedeno pro různé frekvence a amplitudy budící síly. Výsledky řešení obou případů učtení jsou uvedeny v příloze.

3.1 SOUSTAVA BEZ REGULACE STÁLÉ STATICKÉ VÝŠKY

Odvození tuhosti vzduchové pružiny

Deformační síla vzduchové pružiny je dána vztahem

$$F = p_p S_e, \quad (1)$$

kde značí F - sílu,

p - vnitřní tlak,

S_e - efektivní plochu.*

Má-li vzduchová pružina objem V , je efektivní plocha S_e definována

$$S_e = -\frac{dV}{dz}, \quad (2)$$

kde značí Z - zářík vzduchové pružiny,

V - objem vzduchové pružiny.

* Pozn.: Označení efektivní plyně z toho, že efektivní plochu nelze měřit, ale lze ji získat pouze výpočtem.

Závislosti objemu a efektivní plochy na zdvihu jsou určujícími charakteristikami vzduchové pružiny a jsou nazývány geometrickými.

Vzduchová pružina bez regulace je uzavřený prostor o konstantním množství vzduchu a platí tedy vztah

$$p_p = p_0 \left(\frac{V_0}{V} \right)^n - p_a , \quad (3)$$

kde značí p_a - atmosferický tlak,
 p - absolutní vnitřní tlak,
 0 - index počátku změny,
 n - polytropický exponent.

Polytropický exponent se uvažuje při pomalých změnách roven $n=1$ /změna isotermická/ a při rychlých změnách $n=\infty=1/4$ /změna adiabatická/. Atmosferický tlak se uvažuje $p_a=100\text{ MPa}$ s dostatečnou přesností. Dosadí-li se výraz (3) do rovnice (1), potom

$$F = \left[(p_{p0} + p_a) \cdot \left(\frac{V_0}{V} \right)^n \right] \cdot S_e . \quad (4)$$

Tuhost pružiny je dána derivací deformační síly podle zdvihu

$$k = \frac{dF}{dz} = \frac{dp_p}{dz} S_e + \frac{dS_e}{dz} \cdot p_p . \quad (5)$$

Po zavedení vztahu

$$U = \frac{dS_e}{dz} = - \frac{d^2V}{dz^2} , \quad (6)$$

kde S_e je tzv. ukazatel efektivní plochy, a po úpravě rovnice (5), je tuhost vyjádřena

$$k = (p_{p0} + p_a) \left(\frac{V_0}{V} \right)^n \left(n \frac{S_e}{V} + U \right) - p_a U . \quad (7)$$

Jestliže má vzduchová pružina doplnkový objem V_d , platí vztah

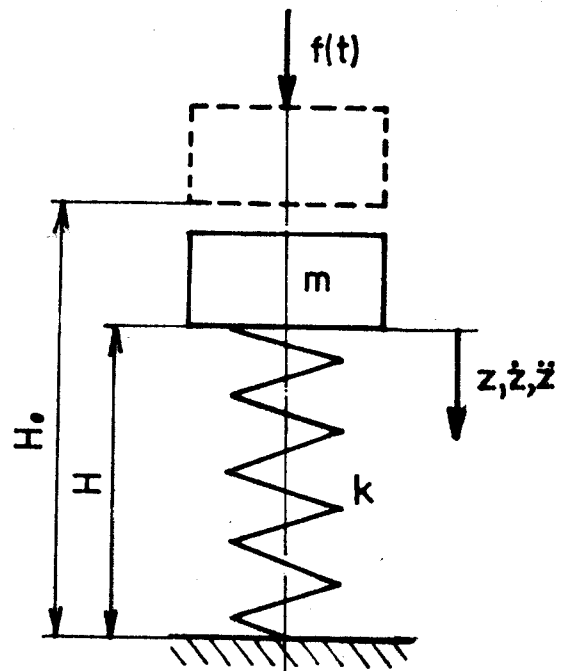
$$k = (p_{p0} + p_a) \left(\frac{V_0 + V_d}{V + V_d} \right)^n \left(n \frac{S_e}{V + V_d} + U \right) - p_a U . \quad (8)$$

Sestavení pohybové rovnice

Na obr. 1 je zobrazena soustava s jedním stupněm volnosti.

Na obrázku značí

- m - hmotnost
- H_0 - statická výška
- H - ekamfitá výška
- z - zdvih
- \dot{z} - rychlosť
- \ddot{z} - zrychlení
- $f(t)$ - zatížující síla



Obr. 1 Soustava s jedním stupněm volnosti

Proměnná z je definována

$$z = H - H_0, \quad (9)$$

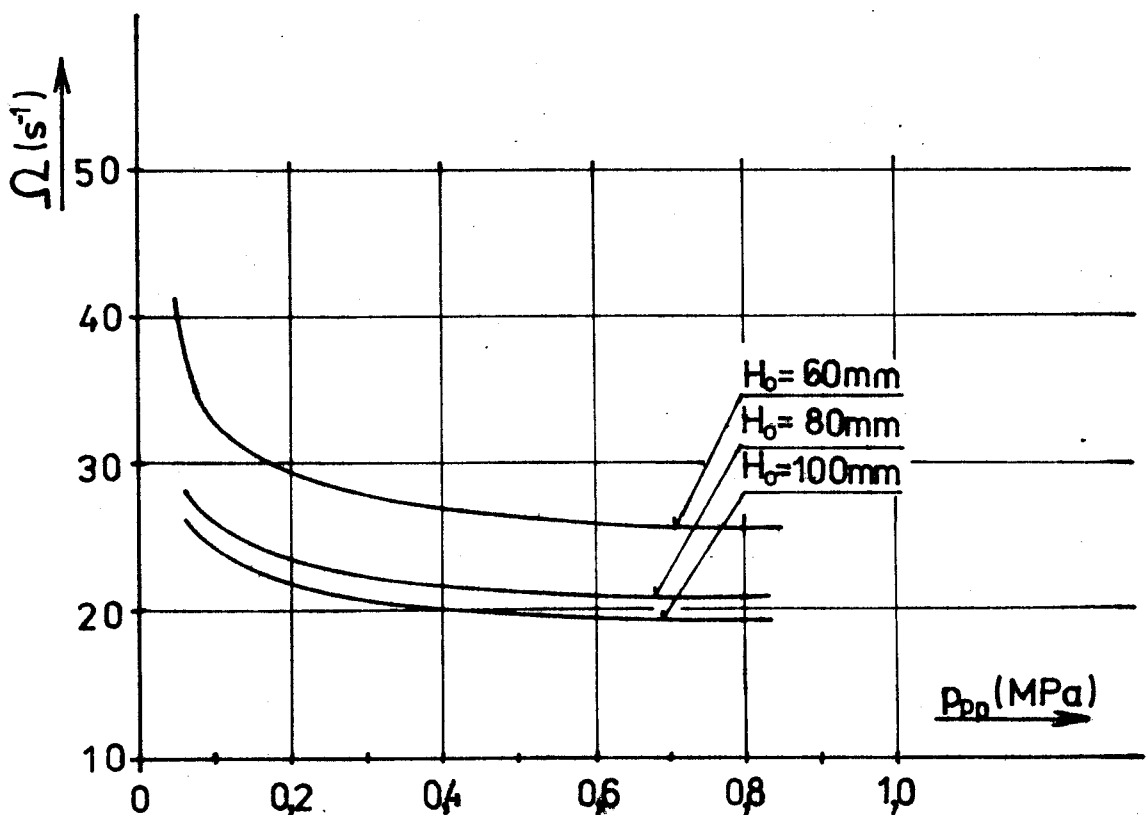
tzn., že při statické rovnováze je $z = 0$, kladnému zdvihu přísluší stlačování a zápornému odlehčování. Pro soustavu na obr. 1 lze napsat pohybovou rovnici ve tvaru

$$m \cdot \ddot{z} + k \cdot z = f(t). \quad (10)$$

Řešením této diferenciální rovnice se získají rezonanční křivky pro různé parametry soustavy. Vlastní frekvence mechanické soustavy s jedním stupněm volnosti je definována

$$\Omega = \sqrt{\frac{k}{m}}. \quad (11)$$

Na obr. 2 je zobrazena závislost vlastní frekvence na vnitřním přetlaku p_{po} a statické výšce H_0 pro vodouhlovou pružinu vlnovecovou jednovlakou, typ VJ 80-0,7.



Obr. 2 Závislost vlastní frekvence na přetlaku a statické výšce

Z obr. 2 je patrné, jaké parametry soustavy je třeba zvolit, aby byla mimo rezonanční oblast. V příloze jsou uvedeny rezonanční křivky pro různé nastavení soustavy.

Nastavení soustavy bez regulace stálé statické výšky je důležité pro regulovanou soustavu, protože vlastní frekvence obou soustav při stejných veličinách p_{po} a H_0 jsou totéž. Oblast resonance, kterou musí téměř každá soustava překonat, způsobuje značné amplitudy kmitů a u regulované soustavy ovlivní celý následující děj.

SOUSTAVA S AUTOMATICKOU REGULACÍ STÁLÉ STATICKE VÝŠKY

Odvodení tuhosti voduchové pružiny s regulací stálé statické výšky

Tuhost voduchové pružiny s regulací nezávisí pouze na počátečním přetlaku p_0 a zdviham Z , ale závisí též na průběhu předcházejícího knížení. V rovnici tuhosti bude vystupovat vliv regulačního ventilu. Odvození tuhosti vyhází ze stavové rovnice ideálního plynu, která má tvar

$$p_0 V_0 = r M_0 T_0 , \quad (12)$$

kde značí p - absolutní tlak

V - objem

r - měrná plynová konstanta

M - hmotnost vzduchu

T - absolutní teplota

o - index počátku změny.

Vyjádří-li se z rovnice (12) měrná plynová konstanta r pro dva stavy vzduchu v pružině, platí

$$\frac{p_0 V_0}{M_0 T_0} = \frac{p V}{M T} , \quad (13)$$

po úpravě

$$p = p_0 \frac{V_0 M T}{V M_0 T_0} . \quad (14)$$

Ve voduchové pružině je změna stavu veličin dána přibližně změnou polytropickou. Změnu teploty vzduchu lze vyjádřit vztahem

$$\frac{T_0}{T} \approx \left(\frac{p_0}{p} \right)^{\frac{n-1}{n}} . \quad (15)$$

Výraz (15) platí pouze pro konstantní množství vzduchu v pružině. U regulevané soustavy není množství konstantní, ale změny teplot a množství jsou velmi malé, proto je vztah (15) použit při dalším výpočtu. Dosazením vztahu (15)

do rovnice (14) a po úpravě je tlak definován

$$p = p_0 \left(\frac{V_0}{V} \right)^n \left(\frac{M}{M_0} \right)^n. \quad (16)$$

Hmotnost vzduchu v počátečním stavu pružiny lze vypočítat ze stavové rovnice (12), tedy

$$M_0 = \frac{p_0 V_0}{r T_0}. \quad (17)$$

Hmotnost vzduchu v průběhu kmitavého děje je obecně závislá na svalku, rychlosti, čase a charakteristice regulačního zařízení. Diferenciál hmotnosti vzduchu, který přitče, resp. odteče, je dán rovnicí

$$dM = \mu P \sqrt{2 \rho \Delta p} dt, \quad (18)$$

kde značí dM - diferenciál hmotnosti

dt - diferenciál času

μ - průtokový součinitel

P - průřez potrubí, kterým vzduch proudí

ρ - měrná hmotnost vzduchu v prostředí s vyšším tlakem

Δp - tlakový spád.

Potom je možné vyjádřit poměr hmotností M a M_0 .

$$\frac{M}{M_0} = \frac{M_0 + \int_0^t dM}{M_0}, \quad (19)$$

$$\frac{M}{M_0} = 1 + \frac{1}{M_0} \int_0^t dM, \quad (20)$$

kde t značí dobu sledovaného děje. Dosazením vztahu (20)

do rovnice (16) dostaneme

$$p = p_0 \left(\frac{V_0}{V} \right)^n \left[1 + \frac{1}{M_0} \int_0^t dM \right]^n. \quad (21)$$

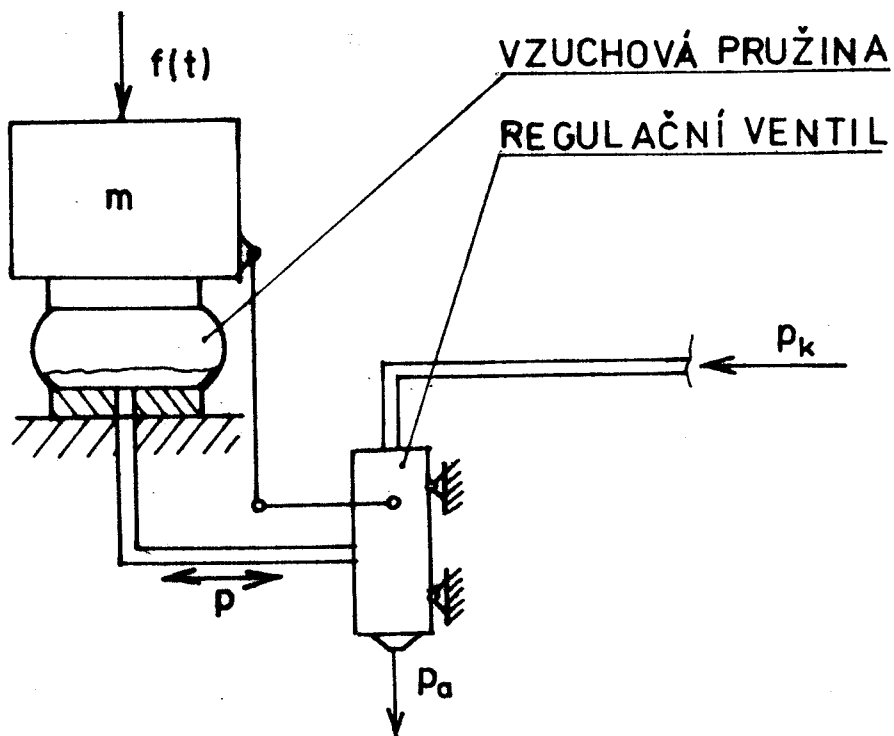
Na obr. 3 je schéma regulační soustavy s jedním stupněm volnosti. Úkolem regulačního ventilu je automaticky svýšovat nebo snižovat tlak ve vzduchových pružinách podle zatížení. Jestliže kompresor vytváří tlak vzduchu v zásobníku p_k

a atmosférický tlak je p_a , platí pro diferenciál hmotnosti

$$dM = \mu P \sqrt{\frac{2 p_k (p_k - p)}{r T_0}} dt, \text{ pro } z > 0, \quad (22)$$

resp.

$$dM' = \mu P' \sqrt{\frac{2 p (p - p_a)}{r T_0}} dt, \text{ pro } z < 0. \quad (22)'$$



Obr. 3 Schema regulované soustavy

V rovnicích (22), (22)' je velikost průtokového součinitele μ závislá na zdvihu z . Právěz potrubí P je konstantní veličina. Rovnice lze upravit na tvar

$$dM = \mu P \sqrt{\frac{2}{r T_0}} \sqrt{p_k (p_k - p)} dt, \quad (23)$$

resp.

$$dM' = \mu P' \sqrt{\frac{2}{r T_0}} \sqrt{p (p - p_a)} dt. \quad (23)'$$

Dosadíme-li vztah (23), resp. (23)' a výraz (17) do rovnice (21) dostaneme konečný tvar vyjádření tlaku v. regula-

lovane pružině, tedy

$$p = p_0 \left(\frac{V_0}{V} \right)^n \left[1 + \frac{r T_0}{p_0 V_0} \int_{t_0}^t (U P) \sqrt{\frac{2}{r T_0}} \sqrt{p_k(p_k - p)} dt \right]^n \quad (24)$$

po úpravě

$$p = p_0 \left(\frac{V_0}{V} \right)^n \left[1 + \frac{P \sqrt{2 r T_0}}{p_0 V_0} \int_{t_0}^t (U) \sqrt{p_k(p_k - p)} dt \right]^n. \quad (25)$$

Konstanta před integrálem je označena symbolem c resp. c'
a konečný tvar rovnice tlaku je

$$p = p_0 \left[\frac{V_0}{V} \left(1 + c \int_{t_0}^t (U) \sqrt{p_k(p_k - p)} dt \right) \right]^n, \quad (26)$$

resp.

$$p = p_0 \left[\frac{V_0}{V} \left(1 + c' \int_{t_0}^t (U) \sqrt{p(p - p_a)} dt \right) \right]^n. \quad (26')$$

Pro reguleovanou soustavu platí obdobné vztahy (1), (2),
(5), (6) uvedené pro soustavu bez regulace. Pro tuhost
vzduchové pružiny máme psát

$$k = \frac{d p_p}{d z} S_e + p_p U. \quad (27)$$

Jestliže vyjádříme derivaci přetlaku p_p podle závihu, dostaneme

$$\frac{d p_p}{d z} = p_0 n \left[\frac{V_0}{V} \left(1 + \frac{1}{M_0} \int_{t_0}^t dM \right) \right] \frac{d \left[\frac{V_0}{V} \left(1 + \frac{1}{M_0} \int_{t_0}^t dM \right) \right]}{dz}. \quad (28)$$

Pro sjednocení vyjádříme

$$\frac{\left[\frac{V_0}{V} \left(1 + \frac{1}{M_0} \int_{t_0}^t dM \right) \right]}{dz} = V_0 \left[\frac{S_e}{V^2} \left(1 + \frac{1}{M_0} \int_{t_0}^t dM \right) + \frac{1}{VM_0} \int_{t_0}^t \frac{dM}{dz} \right].$$

Po dosazení a úpravě vyjde rovnice

$$k = (p_{p0} + p_a) \left(\frac{V_0}{V} \right)^n \left(1 + \frac{1}{M_0} \int_{t_0}^t dM \right)^n \left\{ n \left[\frac{S_e^2}{V} + \frac{S_e \int_{t_0}^t \frac{dM}{dz}}{M_0 \int_{t_0}^t dM} \right] + U \right\} - p_a U, \quad (29)$$

resp. se dosadí $\int_{t_0}^t dM'$.

Z rovnice (29) je patrné, že dosadí-li se $\int dM = 0$, vyjde po úpravě rovnice (7). V [3] je uvedena rovnice pro výpočet tuhosti vzduchové pružiny s regulací, má ovšem jiným způsobem určenou směnu množství vzduchu v pružině.

Řešením pohybové rovnice (10) je možné pro různý průběh budící funkce analyzovat dynamiku soustavy. V příloze jsou uvedeny grafické záznamy řešení pohybové rovnice pro soustavu s regulací statické výšky.

4.

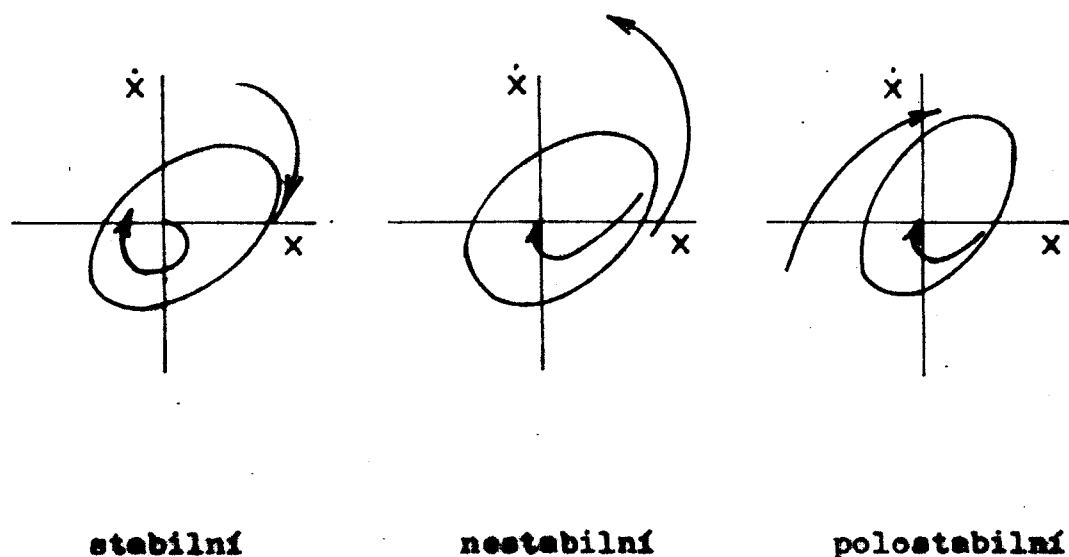
STABILITA SOUSTAVY S JEDINÝM STUPNĚM VOLNOSTI
A AUTOMATICKOU REGULACÍ STÁLE STATICKE VÝŠKY

Z rovnice (29) je patrné, že při vyšetřování stabilitu soustavy s regulací stálé statické výšky jde o řešení stability silně nelineární soustavy.

Stabilita nelineárních soustav je široké téma. V praxi se řeší stabilita dvou typů ustálených stavů. Jsou to

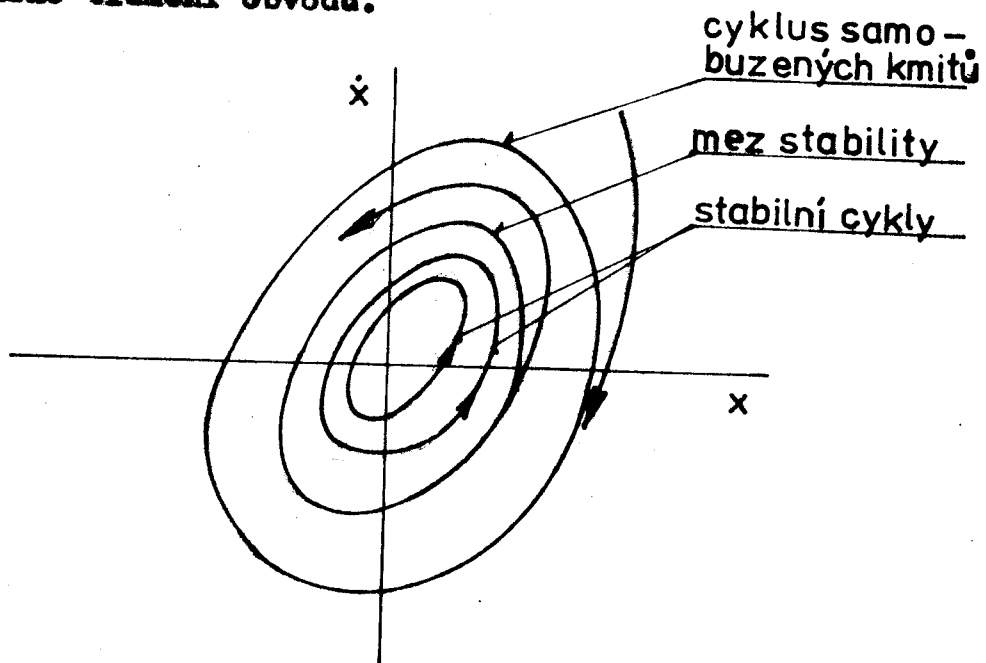
- rovnovážné stavy /klidové stavy/
- periodická řešení /mezní cykly/.

V tomto případě se budeme zabývat periodickým řešením soustavy. Nelineární soustava může mít obecně více ustálených stavů. U soustavy druhého řádu lze velmi námorně zobrazen mezní /limitní/ cykly. Jsou to uzavřené trajektorie ve fázové rovině. Limitní cykly mohou být stabilní, nestabilní a polostabilní. Typy mezních cyklů jsou uvedeny na obr. 4.



Obr. 4 Typy mezních cyklů

Samobuzené kmity jsou takové kmity, při nichž se soustava buší do periodického stavu sama, tzn. bez busení vnější silou. Nutnou podmínkou vzniku autooscilací je přítomnost zdroje energie, který kryje stráty v soustavě. Zobrazíme-li samobuzené kmity ve fázové rovině /obr. 5/ je vidět, že se vždy ustálí na konečné amplitudě. Velikost této amplitudy ustálených kmítů závisí na druhu ne-lineárního tlumění obvodu.



Obr. 5 Samobuzené kmity ve fázové rovině

Při sledování pohybové rovnice pro regulovanou soustavu můžeme rozepsat tuhost vzduchové pružiny do několika částí

$$\begin{aligned}
 k = & p_0 n \frac{S_e^2}{V} \left[\frac{V_0}{V} \left(1 + \frac{1}{M_0} \int_{t_0}^t dM \right)^n + p_0 n \left(\frac{V_0}{V} \right)^n \frac{S_e}{M_0} \int_{t_0}^t dZ \left(1 + \frac{1}{M} \int_{t_0}^t dM \right)^{n-1} + \right. \\
 & \left. + p_0 U \left[\frac{V_0}{V} \left(1 + \frac{1}{M_0} \int_{t_0}^t dM \right)^n \right] - p_a U \right]. \quad (30)
 \end{aligned}$$

Rozepíšeme-li část druhou, dostaneme

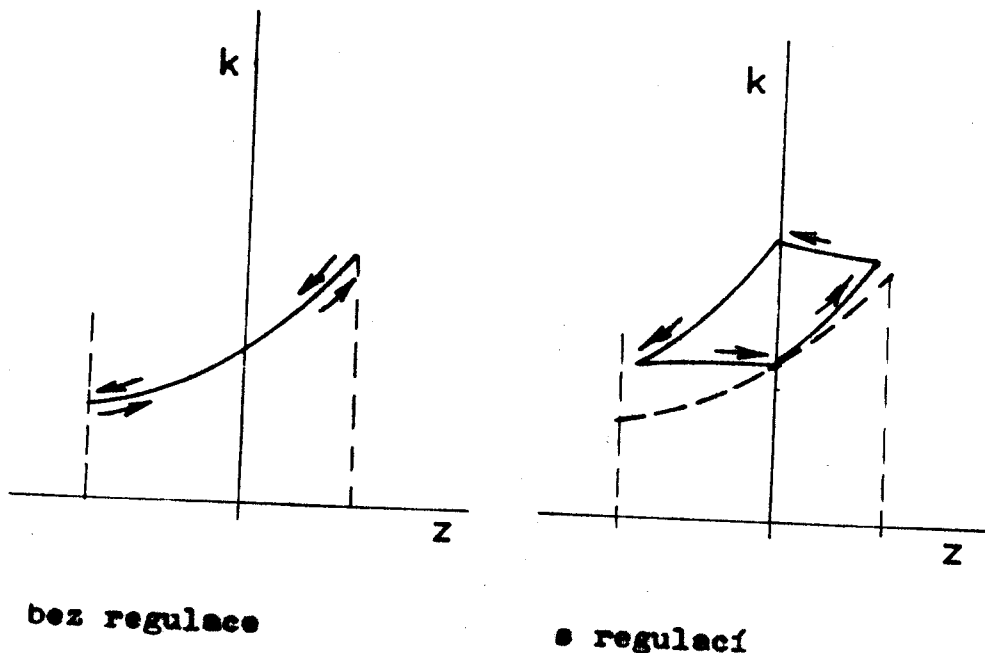
$$K^{(2)} = c S_e \left(1 + \frac{1}{M_0} \int dM \right)^{n-1} \left(\frac{dU}{dz} \sqrt{p_k(p_k - p)} - U \frac{p_k \frac{dp}{dz}}{2\sqrt{p_k(p_k - p)}} \right) dt, \quad (31)$$

resp.

$$K^{(2)} = c' S \left(1 + \frac{1}{M_0} \int dM \right)^{n-1} \left(\frac{dU}{dz} \sqrt{p(p - p_a)} - U \frac{\frac{dp}{dz}(2p - p_a)}{2\sqrt{p(p - p_a)}} \right) dt. \quad (31)'$$

U neregulované soustavy nemůže dojít k samobuzeným kmitům, neboť tuhost je závislá pouze na zdvihu, se stlačením roste a s odlehčením klesá.

U regulované soustavy je průběh tuhosti poněkud složitější. Jestliže si dlejeme rovnici (30), jsou patrné některé veličiny ovlivňující velikost tuhosti vzduchové pružiny v závislosti na zdvihu a čase. Tyto veličiny způsobují, že tuhost vzduchové pružiny může u regulované soustavy se zmenšujícím se zdvihem /kladným/ růst a naopak se zvyšujícím se zdvihem /záporným/ klesat. Na obr. 6 je zobrazen průběh tuhosti v závislosti na zdvihu vzduchové pružiny pro soustavu neregulovanou a regulovanou.



Obr. 6 Tuhost vzduchové pružiny

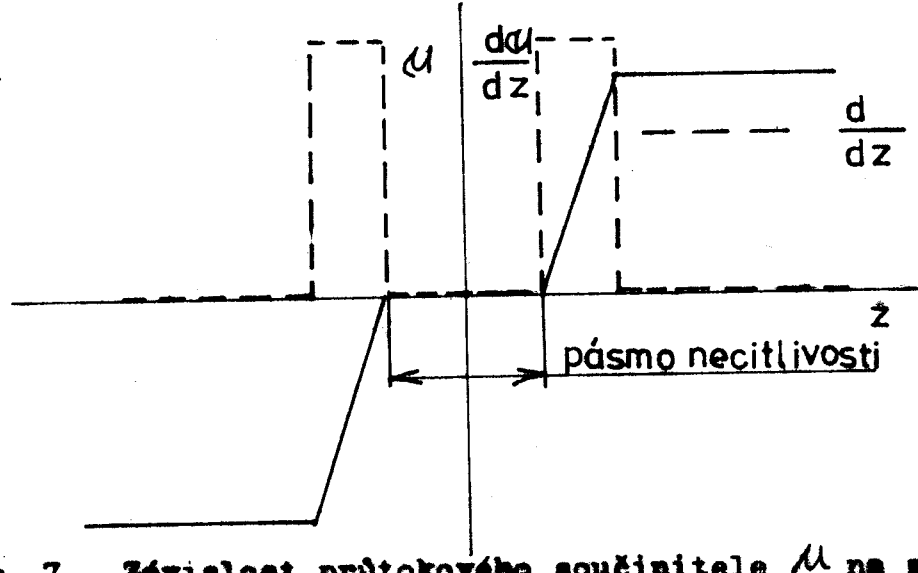
Plocha, kterou ohrazení průběh tuhosti při jednom cyklu, má význam energie dodané do soustavy vnějším zdrojem, v tomto případě zdrojem tlakového vzduchu. Zvýšení tuhosti oproti soustavě bez regulace při pohybu z bodu 0 do bodu 1 je žádoucí, ovšem další zvýšení při pohybu z bodu 1 do bodu 2 je již nežádoucí, protože dodává soustavě další kinetickou energii. Podobně pokles tuhosti z bodu 2 do bodu 3 je vhodný, ovšem další pokles z bodu 3 do bodu 0' je nežádoucí. Obecně platí, že bod $0=0'$ jen v případě ustáleného stavu /limitního cyklu/.

4.2 FAKTOŘI OVLIVŇUJÍCÍ VZNIK SAMOBUZENÝCH KMITŮ

Stanovení faktorů, které ovlivňují vznik samobuzených kmitů, vychází z řešení diferenciální rovnice (10), kde za k dosadíme se vztahu (30). Při řešení se sjistí, že faktory, které nejvíce ovlivňují vznik autooscilací jsou:

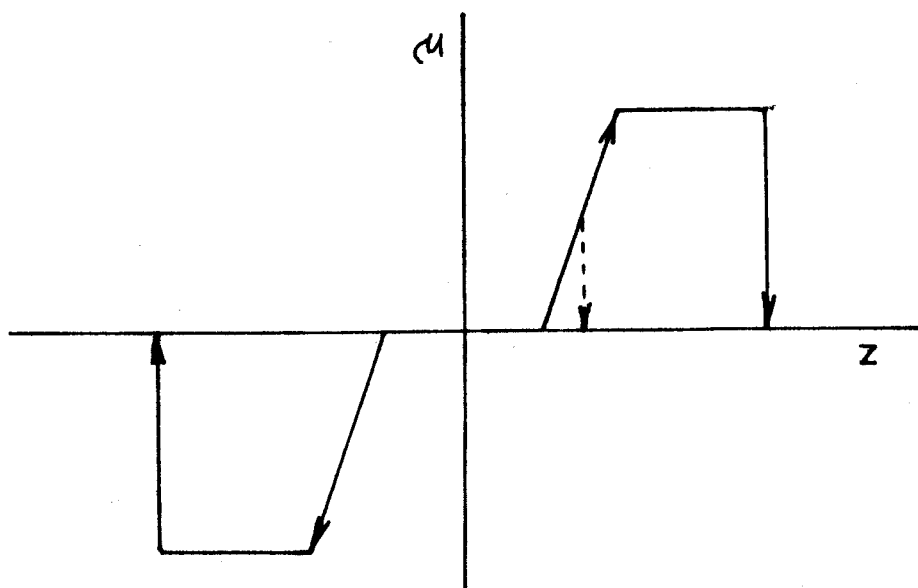
- průtokový součinitel μ a jeho první derivace $\frac{d\mu}{dz}$
- velikost přetlaku v rezervoáru tlakového vzduchu.

Průběh průtokového součinitele pro regulační ventil a jeho derivace je na obr. 7.



Obr. 7 Závislost průtokového součinitele μ na zdvihu z

Pro odstranění samobuzených kmitů by byla vhodnější charakteristika regulátoru podle obr. 8.



Obr. 8 Ideální závislost průtokového součinitele na zdvihu

Prakticky je ovšem velmi obtížné realizovat takový regulátor tlaku vzduchu, který by reagoval na zdvih a rychlosť pohybu.

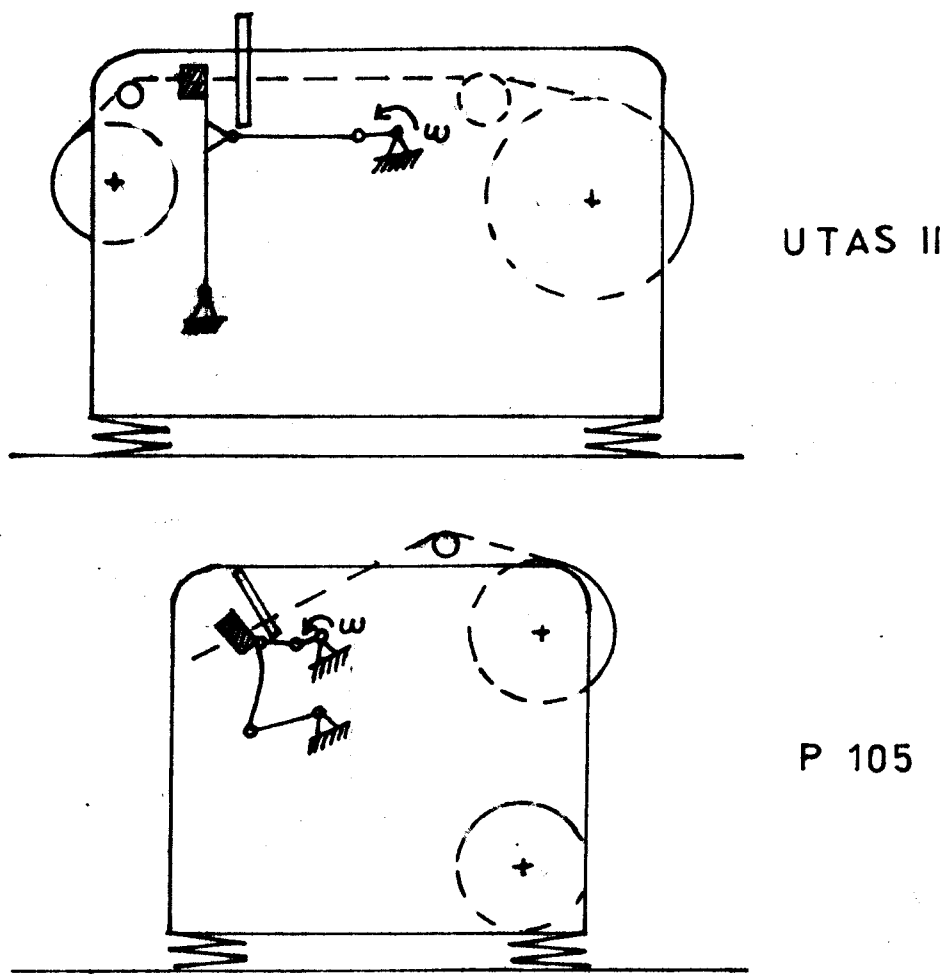
Velikost přetlaku v rezervoáru tlakového vzduchu ponáhá ke vzniku samobuzených kmitů tím, že při kladném zdvihu a záporné rychlosťi zvyšuje tlak ve vzduchové pružině a soustava překmitne přes stabilní rovnovážnou polohu.

Pro kmitání regulované soustavy je nejvhodnější takové nastavení, kdy kmitá v blízkém okolí pásma měcitlivosti regulátoru. Prakticky není jednoduché zajistit tuto podmínu, neboť stačí, aby soustava dostala náhodný silový impuls a překmitne do nestabilního stavu. U tkacích strojů nejde zajistit tuto podmínu z důvodu častých spouštění, tím vznikají rezonanční kmity, které uvádějí soustavu do nestabilního stavu.

5.

MATHEMATICKÝ MODEL TKACÍHO STROJE ULOŽENÉHO
NA VZDUCHOVÝCH POUŽIMÁCH /SOUSTAVA SE DVE
MA STUPNÍ VOLNOSTI/

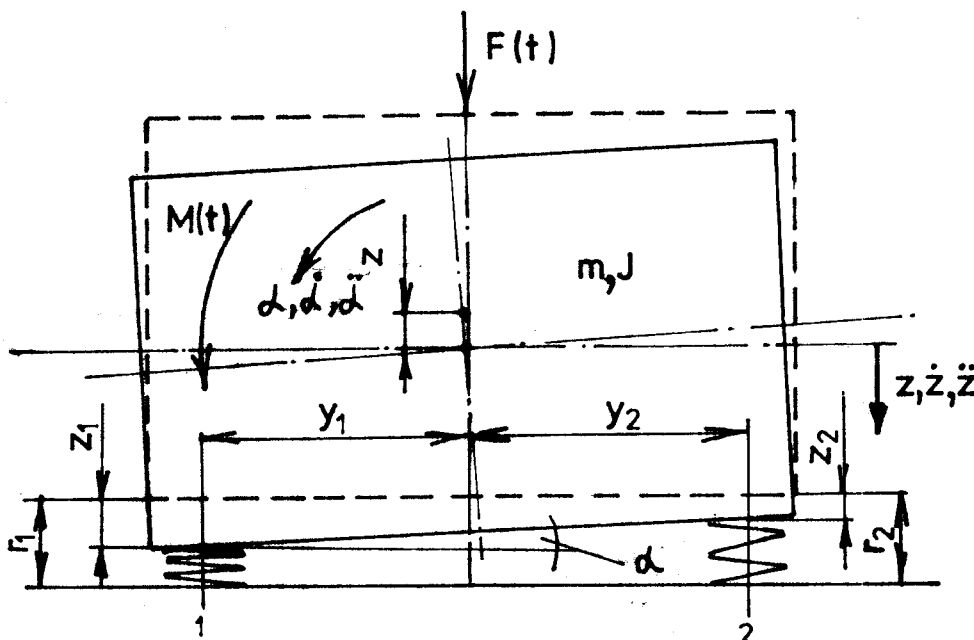
Model tkacího stroje je vytvořen pouze přibližně. Uvažuje se pouze vliv příravného mechanismu, vlivy ostatních mechanismů jsou pouze odhadnutý. Na obr. 9 je zobrazeno schema tkacích strojů UTAS II a P 105.



Obr. 9 Schema tkacího stroje

Při známém průběhu sil způsobených přírakovým mechanismem a odhadnutým vlivem ostatních mechanismů, jejichž působení umístíme do těžiště stroje, lze vytvořit soustavu dvou pohybových rovnic pro dvě neznámé veličiny, a to zdviha těžiště Z a úhel natočení stroje α . Protože síly působící ve směru prohoru útku jsou malé, můžeme pohyb uvažovat pouze ve dvou soufádnicích.

Na obr. 10 je vidět výpočtový model pružně uloženého tkacího stroje.



Obr. 10 Výpočtový model tkacího stroje

Z obr. 10 lze snadno sestavit soustavu dvou diferenciálních rovnic, která má tvar

$$J \ddot{\alpha} + \sum_{i=1}^j k_i y_i \cdot \dot{\alpha} = M(t), \quad (32)$$

$$m \ddot{Z} + \sum_{i=1}^j k_i Z = F(t),$$

kde značí J - moment otávky stroje,

k_i - tuhosti vzduechových pružin,

M, F - konstanty daného stroje,

j - počet pružin.

Jedná-li se o regulovanou soustavu, statická rovnováha stroje je určena nastavením regulátorů r_i ($i=1,2,\dots,j$) a platí rovnice

$$\sum_{i=1}^j P_{pi} S_{ei} = mg , \quad (33)$$

$$\sum_{i=1}^j P_{pi} S_{ei} y_i = 0 .$$

Řešením této soustavy rovnic jsou stanoveny počáteční podmínky řešení soustavy diferenciálních rovnic. Počáteční podmínky jsou $P_{po}, z_e, \dot{z}_e, \dot{d}_e, \ddot{d}_e$. Pro sdvih každé pružiny platí vztah

$$z_i = z + d y_i , \quad (i=1,2,\dots,j) . \quad (34)$$

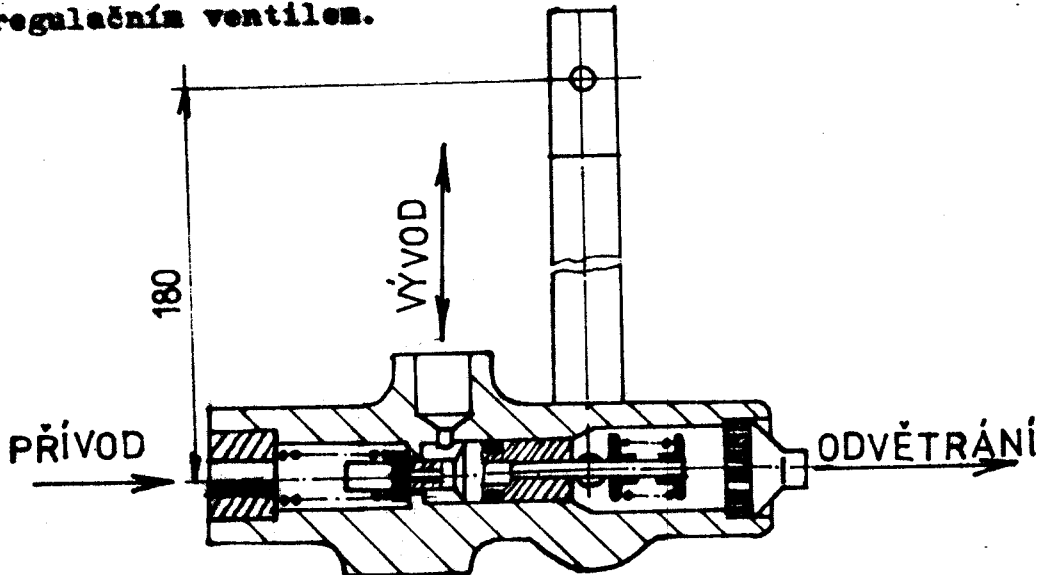
5.1 CHARAKTERISTIKA VZDUCHOVÝCH PRUŽIN

Pro pružné uložení tkacích strojů UTAS II a P 105 je použito jednovlaniých vlnovcových pružin typu VJ 80-0,7. Tyto pružiny mají nelineární průběh závislosti objemu i efektivní plochy na sdvihu [1]. Tuhost pružiny má tedy s přihlédnutím k (7) silně nelineární průběh. Vzduchová pružina VJ 80-0,7 má statickem výšku v rozsahu 80 ± 30 mm pro přetlaky od 0,2 do 0,7 MPa.

5.2 CHARAKTERISTIKA AUTOMATICKÉHO REGULÁTORU

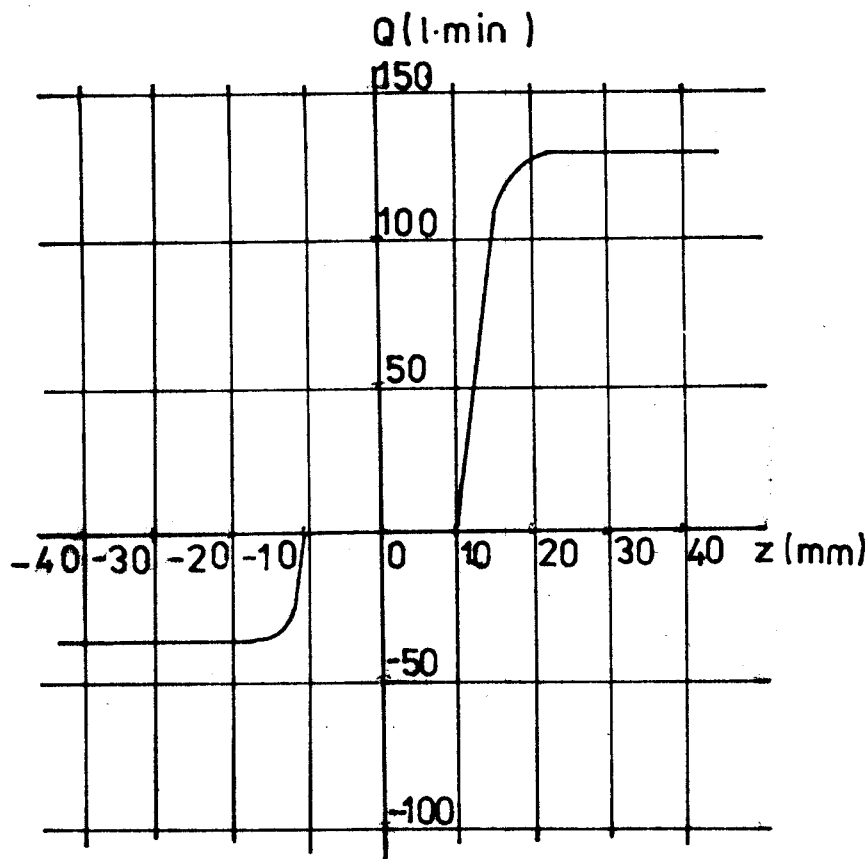
Jako automatického regulátoru je použito regulačního ventila pro vzduchové pírování motorových vozidel /výrobce Autovrucky Jablonec nad Nisou/, upraveného z dvoustup-

nového na jednoustupňový. Na obr. 11 je řez jednoustupňovým regulačním ventilem.



Obr. 11 Jednoustupňový regulační ventil

Na KST VŠST Liberec bylo prováděno měření průtočného množství vzduchu dvoustupňovým regulátorem v závislosti na zdvihu páky regulátoru. Přestože nebylo měřeno průtočné množství jednoustupňového regulátoru, je možné průběh odhadnout, protože charakteristika je velmi strmá u počáteční části a nedopustíme se podstatné chyby. Jednoduchým přepočtem při zadaných parametrech měření průtočného množství je možné získat závislost průtokového součinitele. Na obr. 12 je zobrazena závislost průtočného množství Q ($l \cdot \text{min}^{-1}$) na zdvihu Z pro délku páky regulačního ventilu 180 mm a pro přetlak 0,6 MPa. Světlost resedu tlakového vzduchu je $d = 4$ mm.



Obr. 12 Závislost průtočného množství na zdvihu

Pro hmotnostní průtok platí

$$m = Q\rho, \quad (34)$$

kde značím m - hmotnostní průtok,

Q - objemový průtok,

ρ - měrnou hmotnost vzduchu.

Pro průtočné množství platí

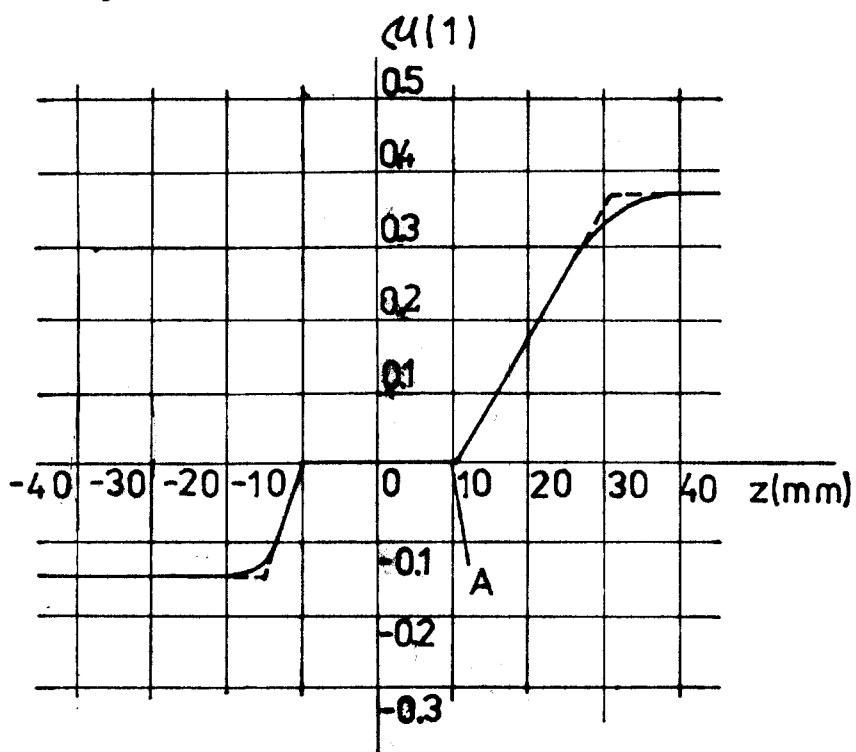
$$\frac{dm}{dt} = \mu P \sqrt{2\rho \Delta P} \quad (35)$$

$$\frac{dm}{dt} = \frac{dQ}{dt} \cdot \rho. \quad (36)$$

Po vyjádření průtokového souběžitele μ dostaneme

$$\mu = \frac{dQ}{dt} \cdot \frac{1}{P} \sqrt{\frac{\rho}{2\Delta P}}. \quad (37)$$

Z naměřené charakteristiky pro objemový průtok $\frac{dQ}{dt}$ je možné přepočítat hodnoty a sestrojit závislost μ jako funkci odvihu z , která je na obr. 13.



Obr. 13 Závislost průtokového součinitele na odvihu

Pro praktické výpočty byla závislost průtokového součinitele na záviku approximována po částech spojitou funkcí, která je na obr. 13 nakreslena čárkováně.

Pro analýzu vzniku samobuzených kmitů člunkového tkacího stroje UTAS II 165 je sestaven program, pomocí něhož lze zjistit, které parametry pružného uložení ovlivňují vznik těchto kmitů. Tkací stroj je uvažován jako soustava se dvěma stupni volnosti /obr. 9, 10/. V [11] jsou uvedeny průběhy a velikosti sil, které jsou způsobeny pohybem pracovních mechanismů tkacího stroje. Na stroji UTAS II 165 způsobuje přírůstkový mechanismus svisleou silou o amplitudě 270 N a vodorovnou /ve směru osy y / sílu o amplitudě 2 850 N. Tyto sily mají sinusový průběh s úhlovou rychlosťí rovnou jmenovitým otáčkám stroje / 175min^{-1} /.

Působením těchto složek setrvačných sil jsou ložiska hlavního hřídele stroje /obr. 9/. Přídavná setrvačná síla způsobená nevyváženosťí ostatních mechanismů má velikost přibližně 200 N. Vyjádřime-li tedy satěžující moment

$$M = M_0 \sin \omega t,$$

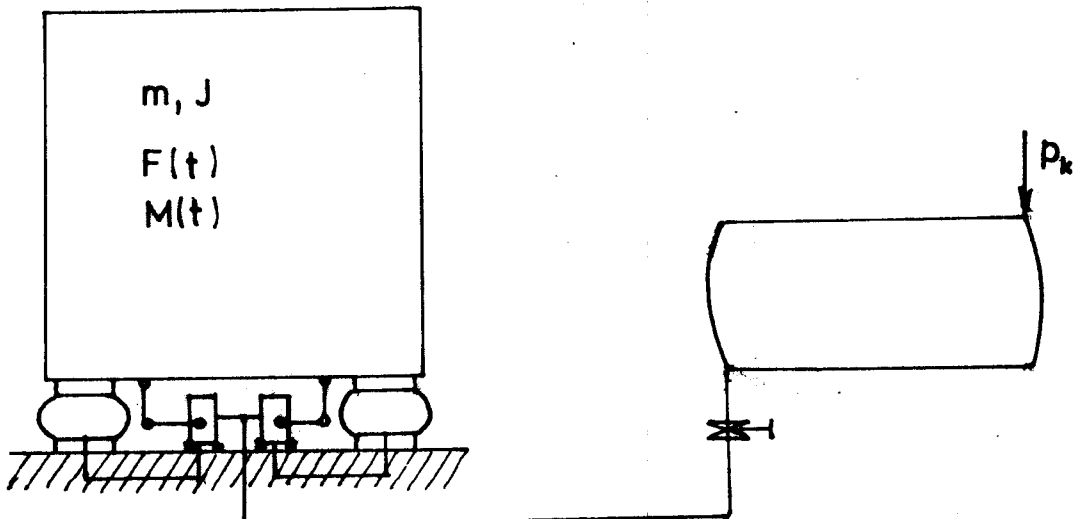
$$\text{satěžující sílu } F = F_0 \sin 2\omega t$$

kde M_0 má velikost 600 Nm

kde F_0 má velikost 500 N, můžeme řešit soustavu (32).

Tkací stroj UTAS II 165 má hmotnost přibližně 1 600 kg. Je uložen na čtyřech vzduchových pružinách VJ 80-0,7, z nichž každá je vybavena regulačním ventilem. Vzhledem k tomu, že stroj má na jedné straně poháněcí ústrojí, je pravý pád pružin satízen asi o 20% meně než levý. Uložení stroje na vzduchových pružinách je na obr. 14. Pružiny na straně s menším satízením mají lepší předpoklady pro vznik samobuzených kmitů, a proto je analýza provedena pro menší satízení pružin. Těžiště je uvažováno v geometrickém středu

stroje. Moment setrvačnosti tkacího stroje UTAS II vzhledem k těžišti má přibližnou hodnotu $J = 300 \text{ kg} \cdot \text{m}^2$. Statické zatížení pravého páru vzduchových pružin je přibližně $F_{st} = 3100 \text{ N}$ na jednu pružinu. Sledujeme-li rozběh stroje, uvažuje se, že člunkový tkací stroj UTAS II dosáhne za čas, který přísluší jedné jmenovité otáčce, $\frac{2}{3}$ jmenovitých otáček za sekundu. Analýza je provedena pro nastavení regulátoru 80 mm.



Obr. 14 Stroj uloženy na vzduchových pružinách

V příloze je zobrazen průběh amplitudy výchylky obou sledovaných pružin v závislosti na čase. Je provedeno srovnání s průběhem neregulované soustavy.

KMITÁNÍ PNEUMATICKÉHO TKACÍHO STROJE P 105 ZH
ULOŽENÉHO NA VZDUCHOVÝCH PRUŽINÁCH

Analyza vzniku seobasených kmitů u stroje P 105 byla provedena obdobně jako u stroje UTAS. Stanovení konstant charakterizujících provoz stroje je provedeno poněkud jiným spůsobem. Je využito měření vibrací stroje na pružně uloženého, [11]. Konstanty M_0 a F_0 pro stroj P 105 mají velikost přibližně $M_0 = 400 \text{ Nm}$, $F_0 = 500$, $F_{Sf} = 2200$, $J = 250$. V příloze je zobrazen průběh výchylky obou sledovaných pružin v závislosti na čase ve srovnání se soustavou bez regulace.

V obou případech je uvažováno nastavení regulátoru tak, že pro počáteční podmínky kmitání je regulátor v poloze A. Tato poloha je naznačena na obr. 13.

Rozsah pneumatického tkacího stroje je velice rychlý. Za jednu jmenovitou otáčku dosáhnou skutečné otáčky 85% otáček jmenovitých.

6.

POUŽITÉ METODY ŘEŠENÍ POHYBOVÝCH ROVNIC

Pro řešení nelineárních pohybových rovnic soustavy s jedním stupněm volnosti i soustavy se dvěma stupni volnosti byla použita čtyřbodová metoda Rungova - Kuttova [7], [8]. Vyjádříme-li proměnné soustavy diferenciálních rovnic ve vektorovém tvaru, můžeme metodu Rungova - Kuttova vyjádřit následujícími vztahy

$$t_{i+1} = t_i + \Delta t, \quad (38)$$

$$\vec{x} = f(t, x, \dot{x}), \quad (39)$$

potom

$$\vec{x}_{i+1} = \vec{x}_i + \Delta t \vec{x}_i + \frac{\Delta t^2}{6} (K_1 + K_2 + K_3), \quad (40)$$

$$\vec{x}_{i+1} = \vec{x}_i + \frac{\Delta t}{6} (K_1 + 2K_2 + 2K_3 + K_4),$$

kde

$$K_1 = f(t_i, \vec{x}_i), \quad (41)$$

$$K_2 = f\left(t_i + \frac{\Delta t}{2}, \vec{x}_i + \frac{\Delta t}{2} \vec{x}_i + \frac{\Delta t^2}{8} K_1\right),$$

$$K_3 = K_2,$$

$$K_4 = f\left(t_i + \Delta t, \vec{x}_i + \Delta t \vec{x}_i + \frac{\Delta t^2}{2} K_3\right).$$

Soustava pohybových rovnic je řešena pro počáteční podmínky $x(0) = 0$ a $\dot{x}(0) = 0$. Řešení jednotlivých případů je přiloženo v doplňku k diplomové práci. Řešení pohybových rovnic pro různé parametry bylo analyzováno a výsledky této analýzy jsou uvedeny v příloze.

Metoda použitá k řešení pohybových rovnic je značně nepřesná, ale postačuje k informativnímu přehledu o podmínkách vzniku samobuzených kmitů.

Z analýzy podmínek, které ovlivňují vznik samobuzených kmitů u strojů uložených na vzduchových pružinách vyplývá, že vznik samobuzených kmitů je způsoben několika činiteli.

Jedním z nich je charakteristika regulátoru, která je vhodnější plechá. U stávajícího regulačního ventilu je možné zmenšit průtokový součinitel škrzením vzduchu. Další možností je vyuvinout nový regulační ventil, který by při překmitnutí rovnovážné polohy prudce svýšil /snížil/ tlak a při dalším výkyvu by se uzavřel. Jednalo by se o jakousi impulsní regulaci.

Sledujeme-li vznik samobuzených kmitů z hlediska nadění soustavy, vznikají samobuzené kmity u strojů, jejichž otáčky jsou blízké vlastním frekvencím pružného uložení. Pro používané přetlaky je to v rozsahu $2\text{--}5 \text{ s}^{-1}$.

Dalším činitelem, kterým můžeme ovlivnit vznik samobuzených kmitů, je snížení přetlaku v rezervoáru tlakového vzduchu. Snížení přetlaku způsobí menší průtočné množství vzduchu pohybujícího do pružiny a stabilizuje tak kmity.

Hodnotíme-li uložení tkacích strojů na vzduchových pružinách, je třeba si uvědomit, že provozní otáčky tlumkových tkacích strojů leží v oblasti rezonance, a tím vznikají vhodné podmínky pro vznik samobuzených kmitů. V případě pneumatických a hydraulických tkacích strojů leží provozní otáčky v nadresonanční oblasti, ovšem jejich hmotnost je poměrně nízká, proto dochází při provozu k větším výkylkám, které způsobí nestabilitu kmitavého děje.

Uvažujeme-li soustavu s jedním stupněm volnosti, je možné určit závislost vzniku samobuzených kmitů na dvou parametrech při konstantním počátečním přetlaku /při stávají-

cím regulačním zařízení/. Těmito určujícími parametry jsou kruhová frekvence budicí síly a amplituda této síly. V příloze je uvedena přibližná závislost stability kmitavého děje na kruhové frekvenci a amplitudě budicí síly.

SEZNAM LITERATURY

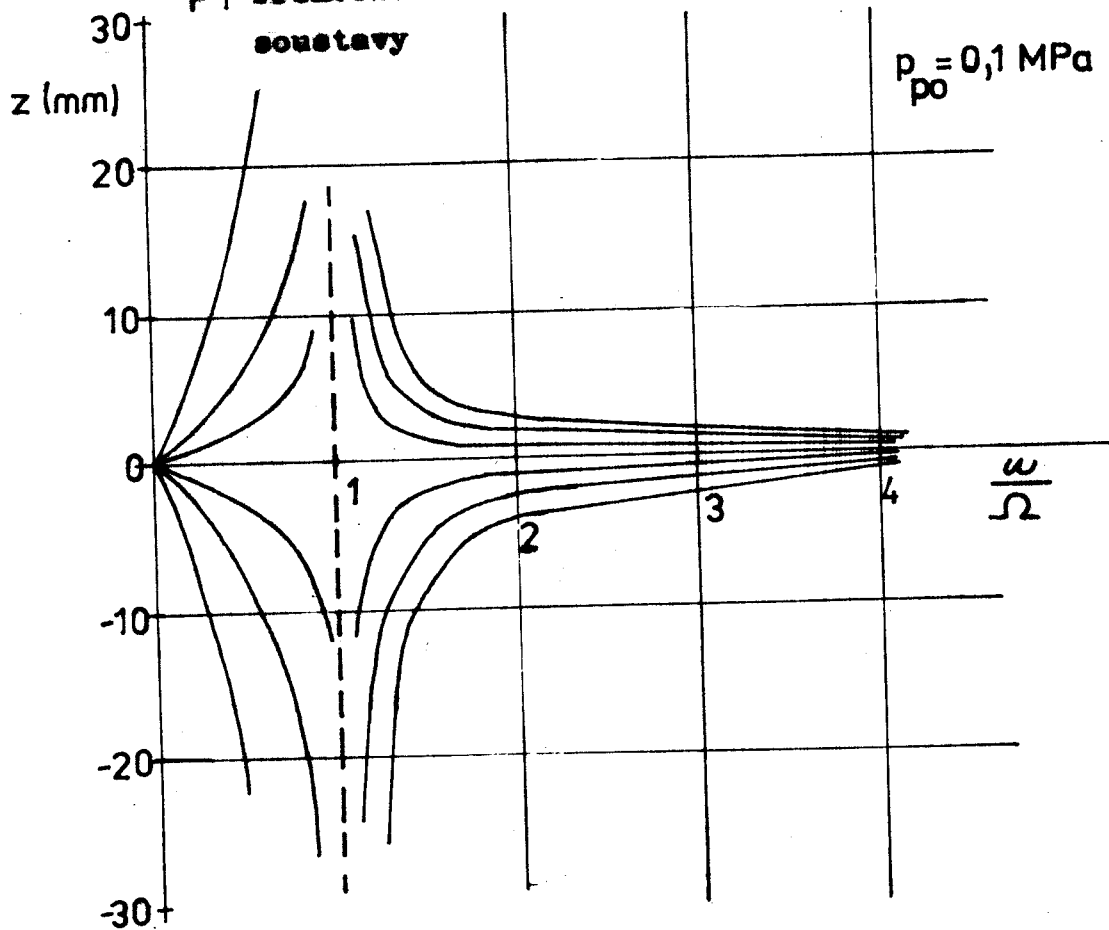
- [1] Nevald J.: K teorii ukládání strojů na vzduchových pružinách. Zpráva KMP. VŠST Liberec, 1980
- [2] Krejčíř O.: Vzduchové pružiny. Habilitační práce. VŠST Liberec, 1968
- [3] Kolektiv: Avtomobilnaja promyšlennost. 5/1961, 4/1966
- [4] Kotek Z., Kubík S., Basim M.: Nelineární dynamické systémy. SNTL Praha 1973
- [5] Hanuš B. a kol.: Základy technické kybernetiky I., II. VŠST Liberec, 1980
- [6] Püst S.: Technická mechanika II. Kmitání lineárních soustav. ČVUT Praha, 1972
- [7] Kolektiv: Aplikovaná matematika. SNTL Praha, 1978
- [8] Ralston A.: Základy numerické matematiky. Academia Praha, 1978
- [9] Charvát J.: Mechanika II. Dynamika. VŠST Liberec, 1975
- [10] Žikeš F.: Praktické úlohy z automatické regulace. VŠST Liberec, 1975
- [11] Asokan R.: Vyvažování přírakového mechanismu tkacího stroje. Kandidátská disertační práce. VŠST Liberec, 1980

P R I L O H Y

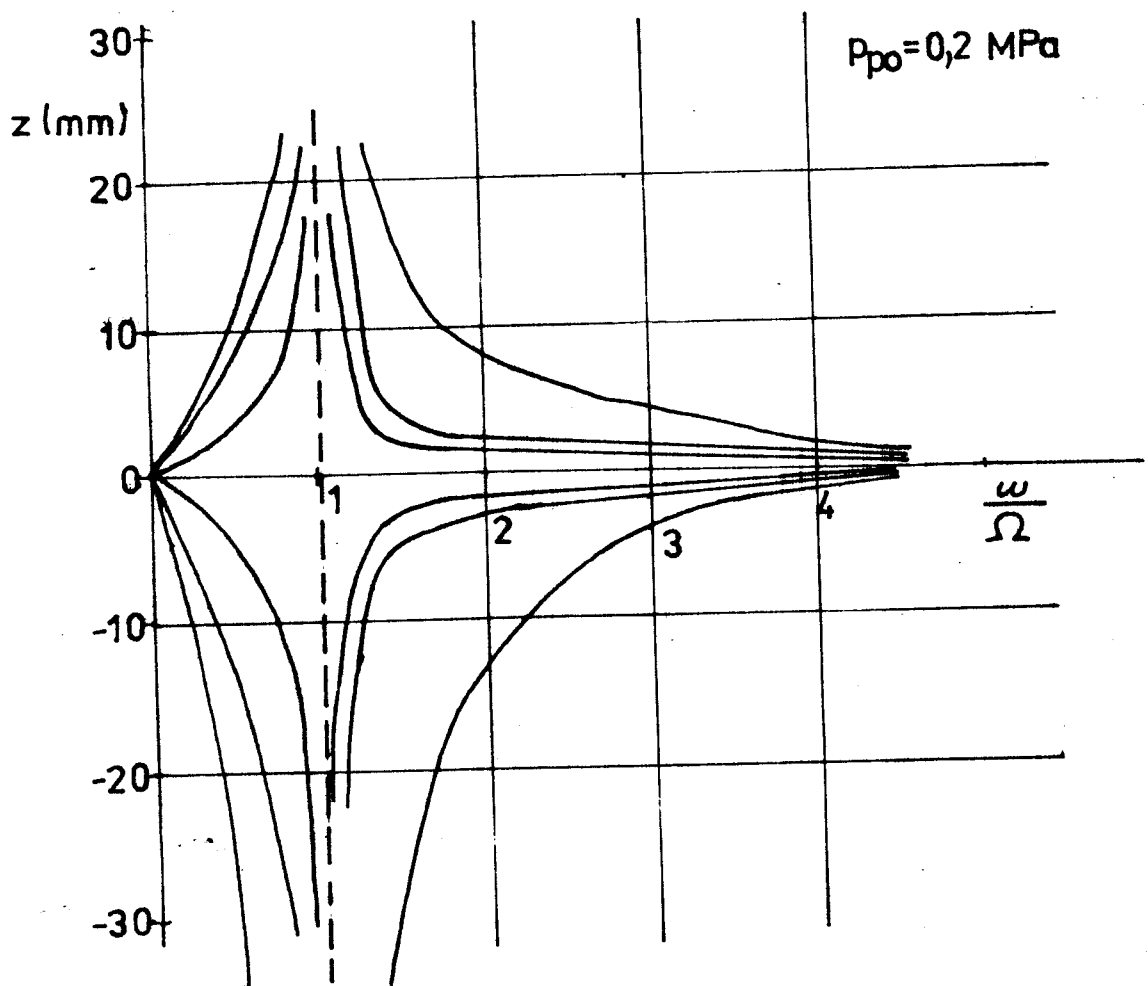
SEZNAM PŘÍLOH

Příloha	Obsah	Strana
P1	Frekvenční charakteristiky neregulované soustavy	3
P2	Porovnání vlivu skutečného a ideálního regulátoru na vznik samobuzených kmitů	4
P3	Samobuzené kmity zobrazené ve fázové rovině	5
P4	Oblast stabilních a nestabilních kmitů	6
P5	Oblast stabilních a nestabilních kmitů	7
P6	Oblast stabilních a nestabilních kmitů	8
P7	Kmitání tkacích strojů UTAS III 165 a P 105 ZH	9

P1 Frekvenční charakteristiky neregulované



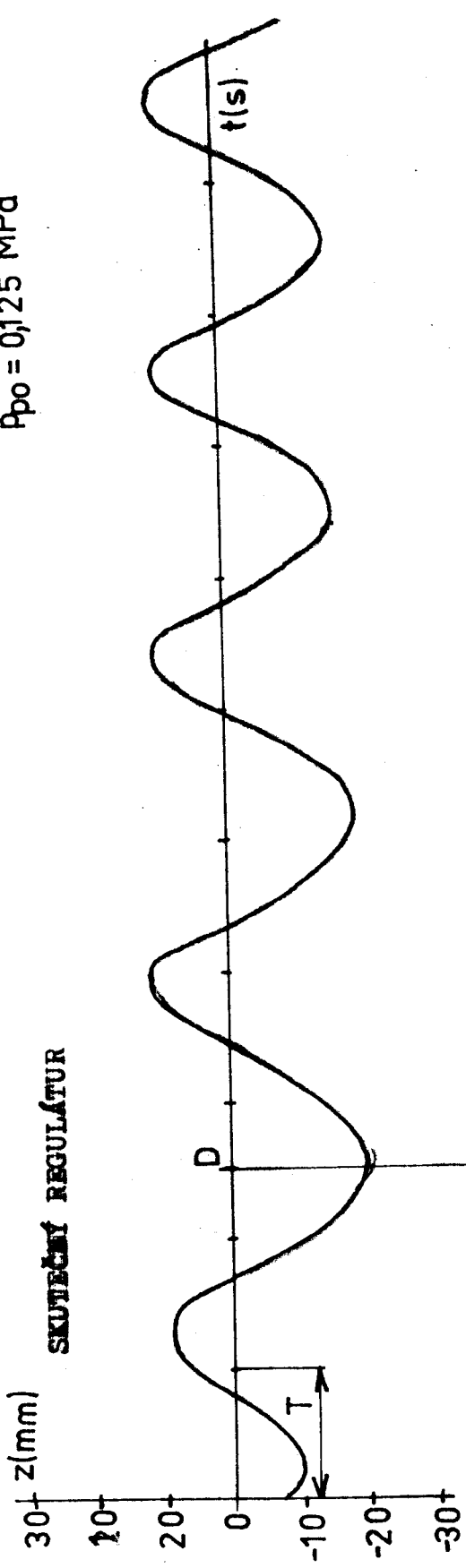
$p_{p0}=0,2 \text{ MPa}$



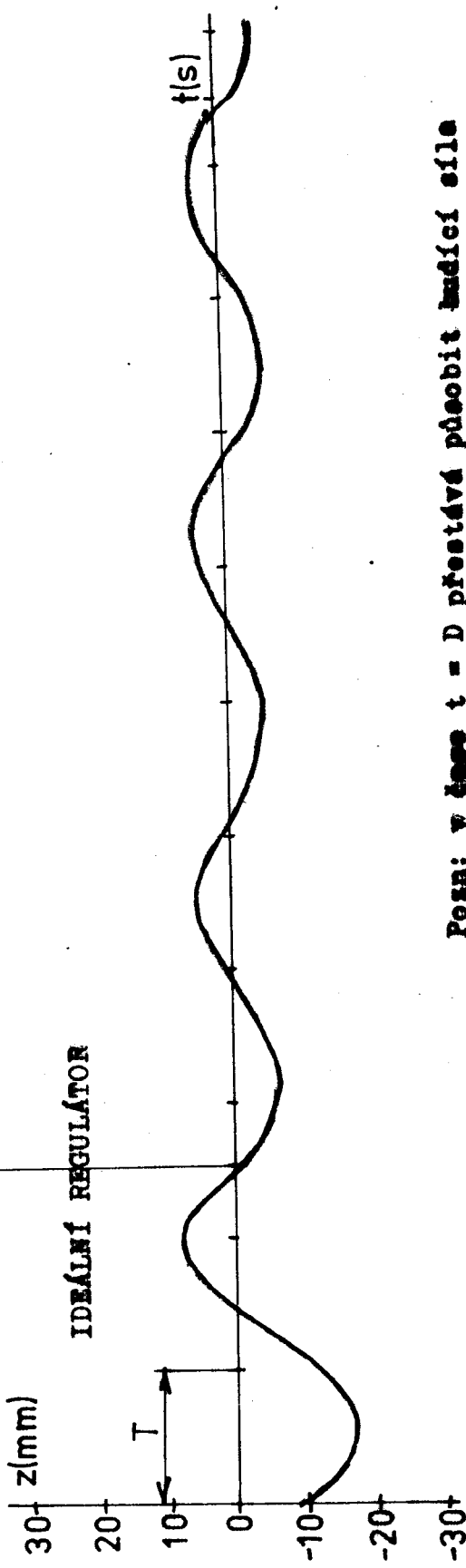
P2 Porovnání skutečného a ideálního regulátoru

$$P_{po} = 0,125 \text{ MPa}$$

SKUTEČNÝ REGULÁTOR

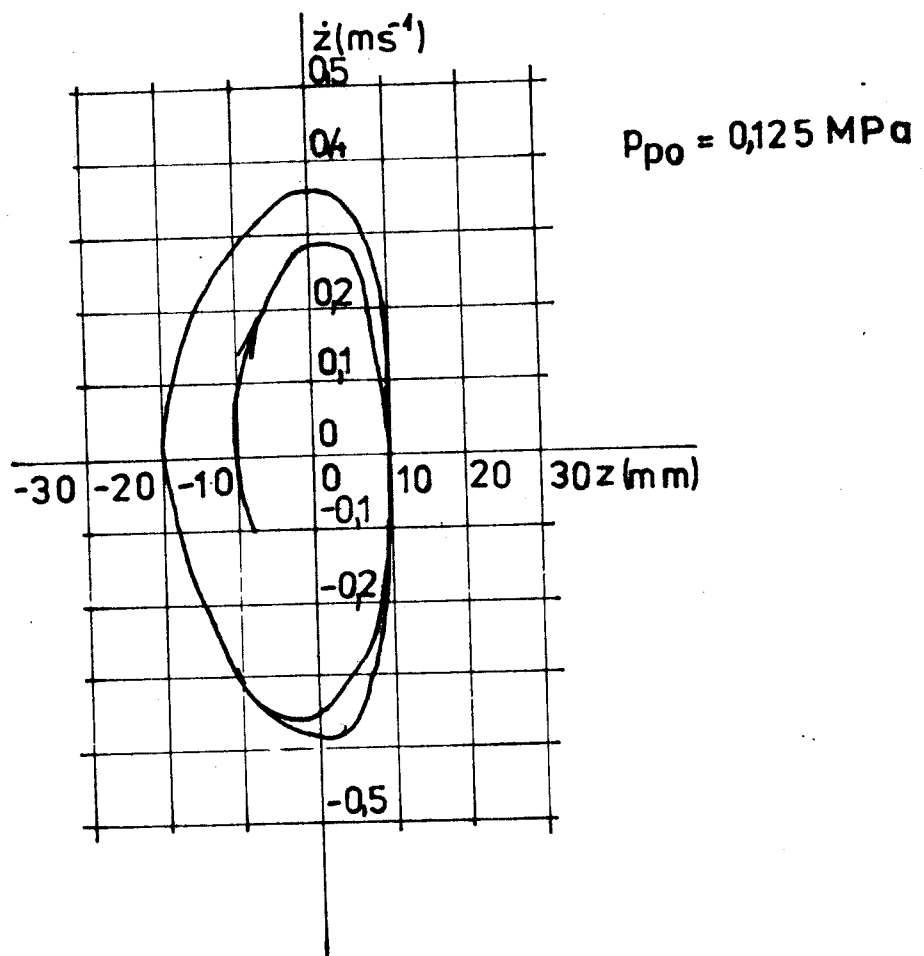


IDEÁLNÍ REGULÁTOR



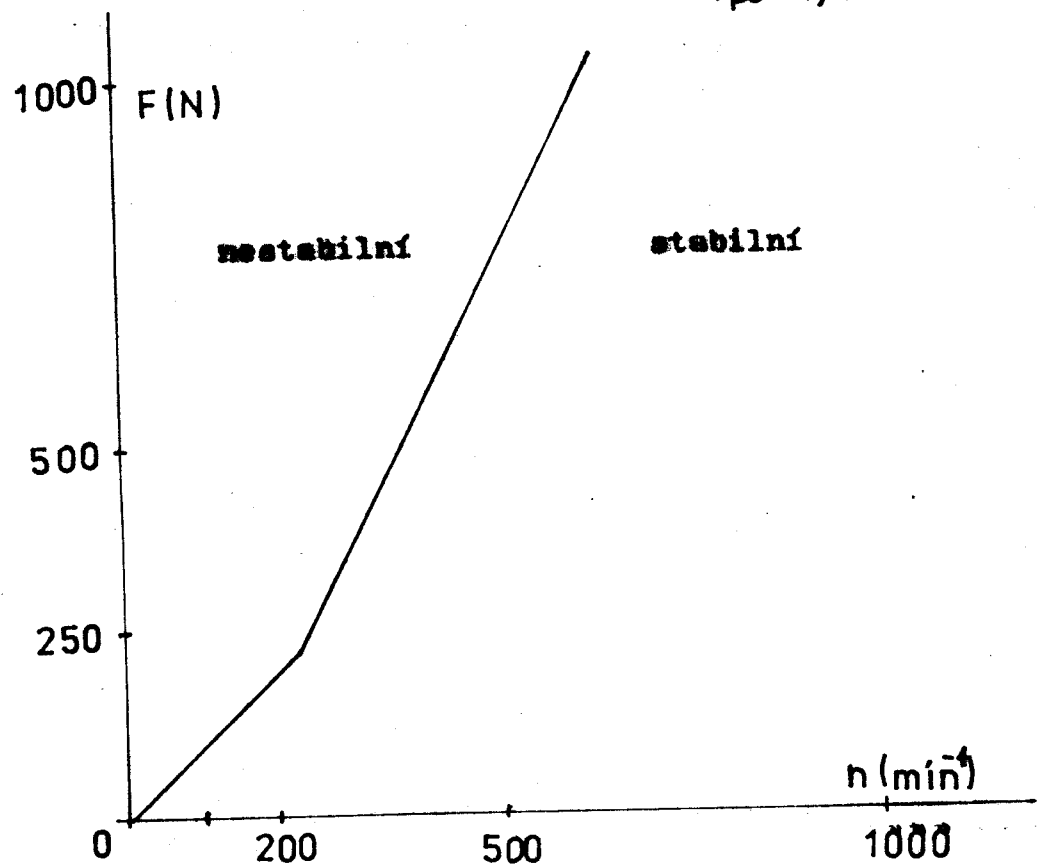
Pozn.: v čase $t = D$ přestavuje pohyb lidicek o délce

P3 Samohuzemé kmity zobrazené ve fázové rovině

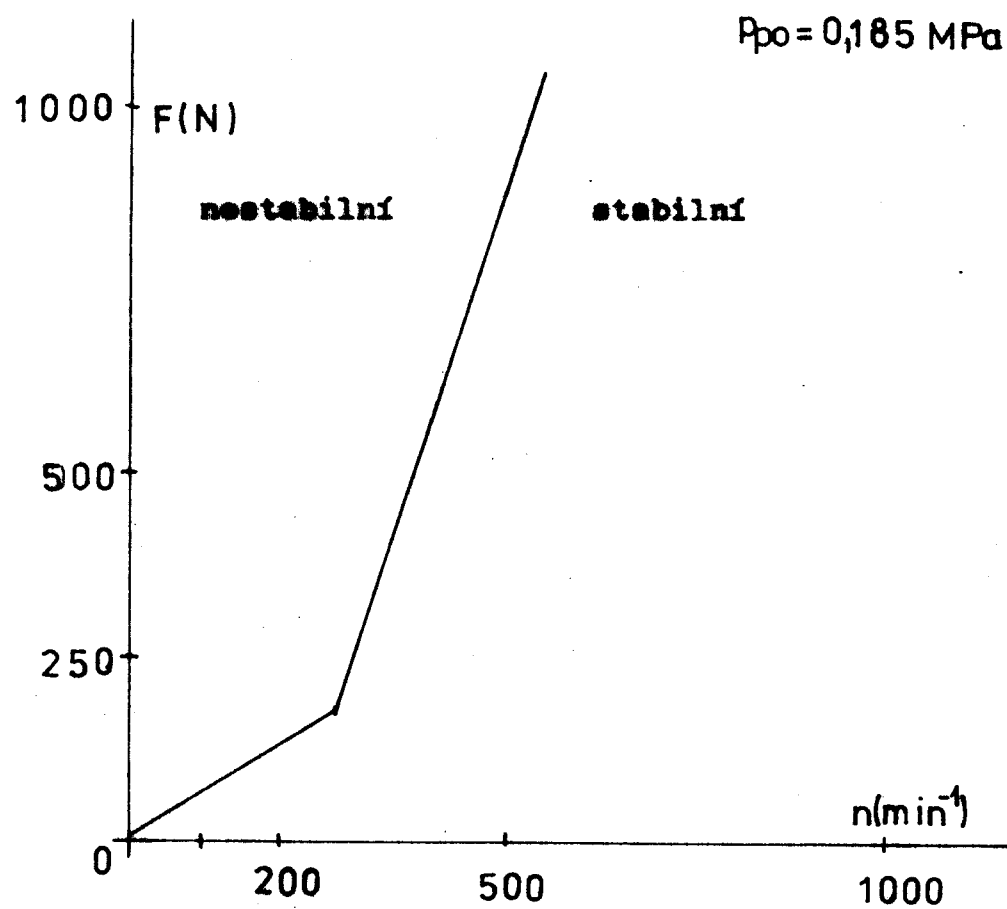


P4 Oblast stabilních a nestabilních kmitů

$P_{po} = 0,125 \text{ MPa}$

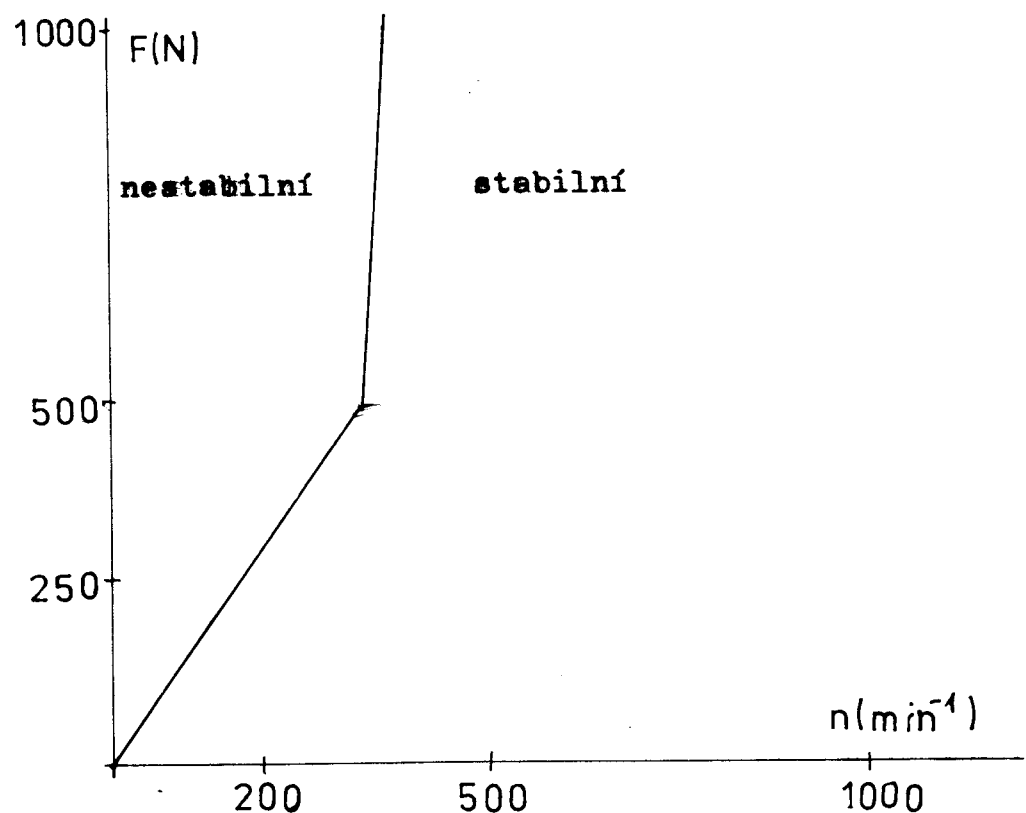


P5 Oblast stabilních a nestabilních kmitů

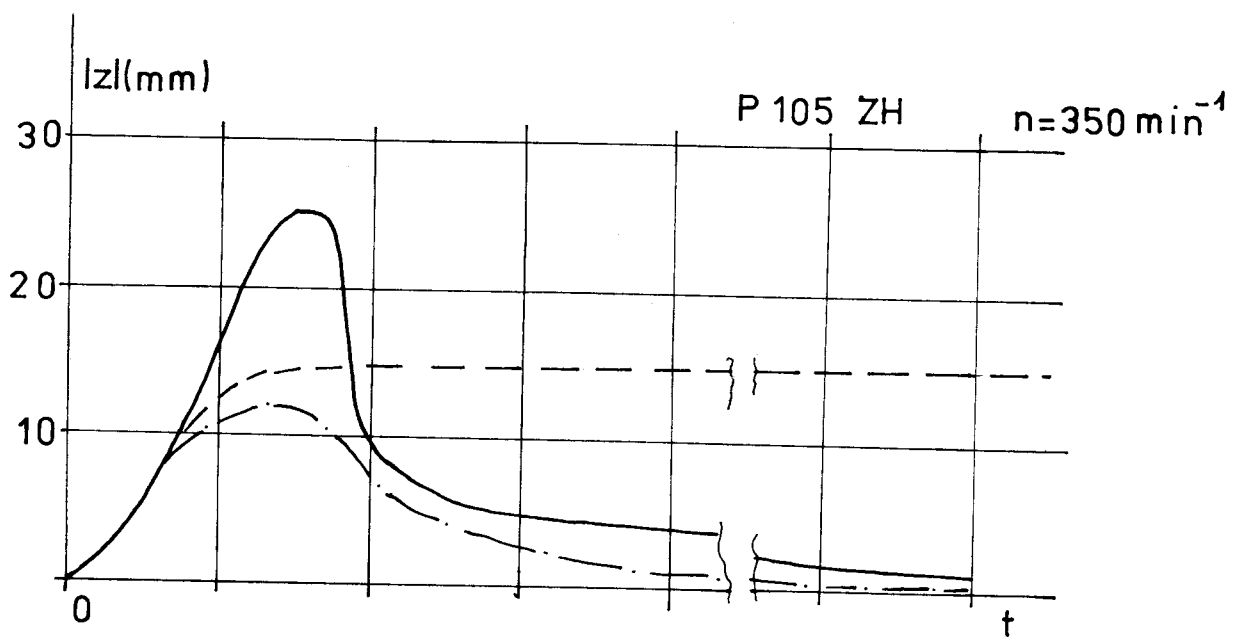
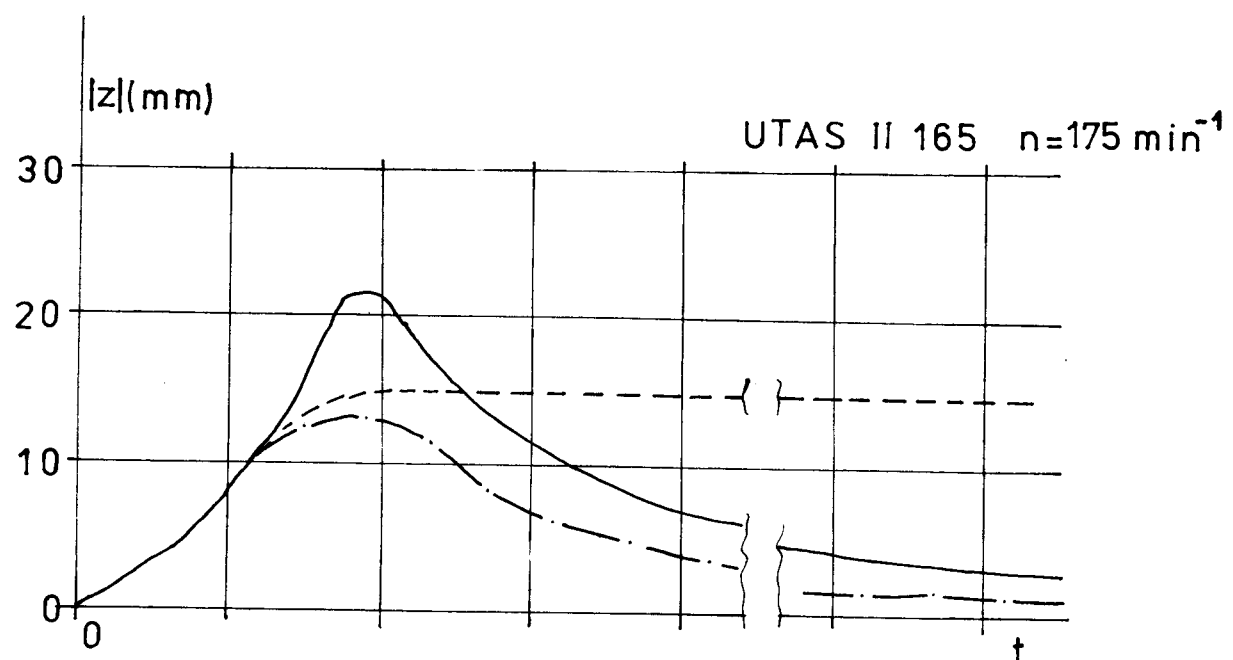


P 6 Oblast stabilních a nestabilních kmitů

$P_{po} = 0,25 \text{ MPa}$



P 7 Knitání tkacích strojů UTAS II 165 a P 105 ZH



- bez regulace
- - - - s regulací
- - - - - požadovaný tvar

PŘÍKLAD VÝSTUPU Z POČÍTAČE (ŘEŠENÍ METODOU RUNGE-KUTTA)

✓ RESENI POH. ROVN. 1 ST. VOLNOSTI BEZ REG. DANE HODN.:
 M= 322.12 KG P0= .299939 MPA
 F0= 500 N N= 200 MIN-1 OMEGA= 20.9439 RAD*S-1
 VLASTNI OM= 22.9763 RAD*S-1VL. OT.= 219.408
 CAS ZDVIH RYCHL. BUD.SILA
 (S) (M) (M*S-1) (N)

H0= 80

0	0	0	0
3.00000E-02	1.40021E-04	1.35896E-02	293.892
6.00000E-02	9.77329E-04	4.27569E-02	475.528
9.00000E-02	2.57258E-03	5.85839E-02	475.528
.12	4.06151E-03	3.23143E-02	293.893
.15	4.07179E-03	-3.63185E-02	9.36268E-04
.18	1.84471E-03	-.10881	-293.891
.21	-2.09602E-03	-.146298	-475.527
.24	-6.44822E-03	-.13566	-475.53
.27	-9.75438E-03	-7.70613E-02	-293.896
.3	-1.06552E-02	2.27971E-02	-1.87254E-03
.33	-8.15665E-03	.144987	293.892
.36	-2.11687E-03	.249891	475.529
.390001	5.89785E-03	.25842	475.527
.420001	1.11815E-02	5.42389E-02	293.888
.450001	8.23498E-03	-.231524	-8.23916E-03
.480001	-6.81338E-04	-.331641	-293.901
.510002	-1.03731E-02	-.30038	-475.532
.540002	-1.80664E-02	-.203772	-475.524
.570002	-2.21323E-02	-6.04140E-02	-293.88
.600002	-2.13566E-02	.11598	1.64783E-02
.630002	-1.50928E-02	.299803	293.908
.660003	-3.75171E-03	.443412	475.535
.690003	9.89034E-03	.413723	475.521
.720003	1.58200E-02	-9.95254E-02	293.873
.750003	5.65106E-03	-.48264	-2.69645E-02
.780003	-9.27707E-03	-.481115	-293.915
.810004	-2.21573E-02	-.366274	-475.538
.840004	-3.07035E-02	-.195767	-475.518
PRUZINA MIMO ROZSAH			
.870004	-3.35175E-02	1.32907E-02	-293.864
PRUZINA MIMO ROZSAH			
.900004	-2.96948E-02	.243031	3.74507E-02
.930004	-1.90286E-02	.46275	293.924
.960005	-2.56949E-03	.61555	475.541
.990005	1.51650E-02	.461906	475.515
1.02	1.58098E-02	-.435748	293.857
*1.05001	-2.12717E-03	-.649899	-4.49408E-02